

УДК 541.113

ТЕХНИЧЕСКАЯ ФИЗИКА

Л. Л. ПИТАЕВСКАЯ, А. В. БИЛЕВИЧ

**СКОРОСТЬ РАСПРОСТРАНЕНИЯ УЛЬТРАЗВУКА В CO_2
ПРИ ВЫСОКИХ ДАВЛЕНИЯХ И ПРИМЕНИМОСТЬ ПРАВИЛА РАО
ДЛЯ СИЛЬНО СЖАТЫХ ГАЗОВ**

(Представлено академиком Л. Ф. Верещагиным 11 V 1970)

Импульсным методом* измерена скорость распространения ультразвука в CO_2 при давлениях до 4,5 кбар в интервале температур 25—200°. Измерения проводились в пределах частот 0,3—5 Мгц. Зависимости скорости звука от частоты не обнаружено. На рис. 1а представлена зависимость скорости звука от давления для разных температур. Здесь же приведены значения скоростей, полученных в работе⁽²⁾ для 75,7° при

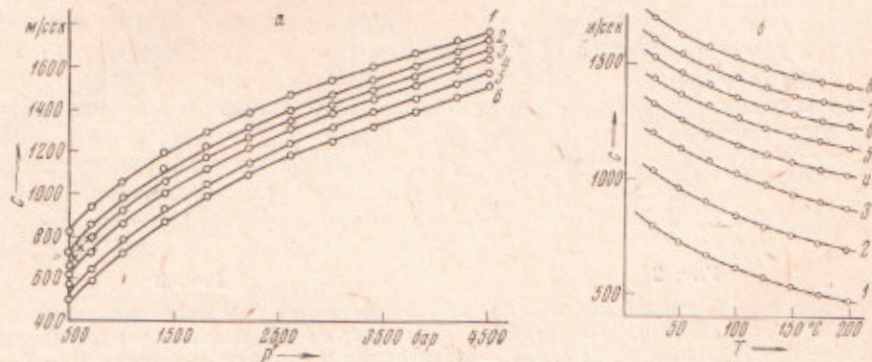


Рис. 1. а — зависимость скорости ультразвука в CO_2 от давления при температурах 25° (1), 50° (2), 75° (3), 100° (4), 150° (5), 200° (6); крестики — данные⁽²⁾ для 75,7°. б — зависимость скорости ультразвука в CO_2 от температуры при давлениях 500 бар (1), 1000 (2), 2000 (3), 2500 (4), 3000 (5), 3500 (6), 4000 бар (8)

частоте 2 Мгц до давлений около 700 атм. Наблюдается полное совпадение результатов в пределах точности эксперимента. На рис. 1б представлена зависимость скорости звука от температуры. В отличие от азота, аргона и гелия^(1, 3, 4) в CO_2 эта зависимость гораздо сильнее и существенно отклоняется от линейной, а производная dc/dT отрицательна во всем интервале давлений. Полученные значения скорости ультразвука были использованы для расчета^(1, 3) отношения теплоемкостей $\gamma = C_p/C_v$.

До давлений 2 кбар при температурах 50, 100, 125, 150° использованы $P - V - T$ -данные⁽⁵⁾. Необходимая для расчета производная $(\partial V / \partial P)_T$ вычислялась при помощи эмпирического уравнения

$$PV = A + (B + \beta)\rho + Cp^2 + Z\rho^3 + D\rho^4 + E\rho^5 + F\rho^6.$$

Для расчета при давлениях выше 2 кбар для 50, 100 и 200° использованы $P - V - T$ -данные из работы⁽⁷⁾. Производная $(\partial V / \partial P)_T$ вычислена

* Точность измерения скорости звука составляет 0,3%⁽¹⁾.

при помощи уравнения ТЭТА

$$(T - T_0) / T_0 = C \ln (B + P) / (P + P_0)$$

(константы C и B приведены в той же работе ⁽⁷⁾).

Результаты расчетов представлены на рис. 2. Разброс точек при 50 и 100° при значениях $\rho = 1,1-1,2 \text{ г/см}^3$ обусловлен, вероятно, тем, что

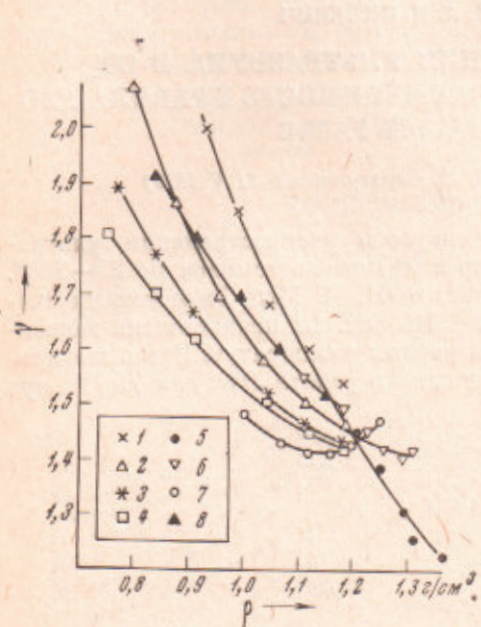


Рис. 2

Рис. 2. Зависимость отношений C_p / C_v от плотности для CO_2 при температурах 50° (1, 5), 100° (2, 6), 125° (3), 150° (4), 200° (7). 1, 2, 3, 4 — вычисления γ при использовании $P - V - T$ -данных ^(3, 6); 5, 6, 7 — вычисления γ при использовании $P - V - T$ -данных ⁽⁷⁾; 8 — результаты вычислений ⁽⁸⁾ для 100°

Рис. 3. Зависимость адиабатической сжимаемости от плотности для CO_2 при температурах 50° (1), 100° (2), 125° (3), 150° (4), 200° (5)

$P - V - T$ -данные до и после 2 кбар аппроксимировались разными уравнениями.

В работе ⁽⁸⁾ C_p и C_v вычислялись, исходя непосредственно из $P - V - T$ -данных. Значения $\gamma = C_p / C_v$, построенные по результатам этой работы при $T = 100^\circ$, показаны на рис. 2. Видно заметное отклонение результатов Михелса ⁽⁹⁾ от наших. Можно думать, что это связано с тем, что вычисления γ по $P - V - T$ -данным требует двухкратного дифференцирования по температуре, что сильно снижает точность результатов. Определение γ с использованием независимых измерений скорости звука обеспечивает гораздо большую точность. На рис. 3 представлены кривые зависимости адиабатической сжимаемости β от плотности для различных температур.

Имеющиеся экспериментальные данные по температурной зависимости скорости ультразвука в жидкостях подчиняются эмпирическому правилу Рао ⁽⁹⁾: величина $R_a = c^{1/2} M / \beta$ (M — молекулярный вес) практически не зависит от температуры. Имея в виду сходство свойств жидкостей и сжатых газов, мы вычислили постоянную R_a для нескольких сжатых газов при различных давлениях (см. рис. 4). Значения скоростей

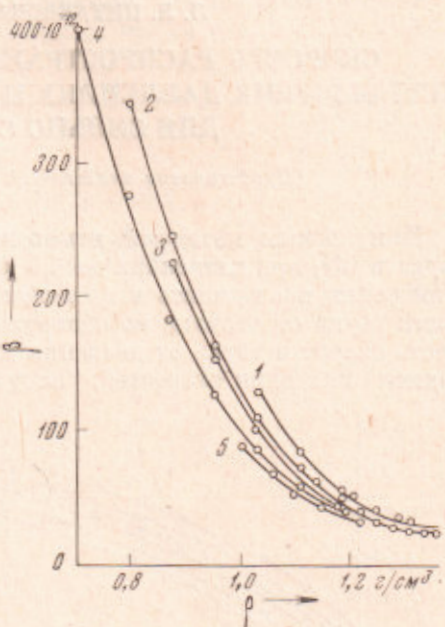


Рис. 3

звука взяты из работ ^(1, 3, 4), значения плотностей для азота, аргона и CO_2 — из работ ^(7, 10–12). Плотность гелия при давлениях до 2,5 кбар при температурах 100, 150, 200, 250, 300° получена авторами. Из рис. 4 видно, что в отличие от жидкостей R_a для газов имеет заметную температурную зависимость, которая практически линейна. Это обстоятельство можно использовать для экстраполяции по температуре величин c или ρ при известной одной из них.

Температурная зависимость R_a тем сильнее, чем в данных условиях состояние газа дальше от состояния жидкости*. С повышением давления свойства газа становятся все ближе к свойствам жидкости и температурная зависимость R_a ослабевает, что проявляется в уменьшении наклона прямых на рис. 4. К тому же заключению можно придти, сравнивая температурный ход R_a для различных газов. Слабее всего этот ход выражается у CO_2 . Это связано с тем, что в CO_2 переход к жидкости происходит при более низких давлениях, чем в инертных газах — аргоне и гелии. Соответственно у последних сильнее выражен температурный ход R_a . При давлениях ~ 3000 бар и выше различие между изучавшимися газами в этом отношении сглаживается.

В заключение приносим благодарность акад. Л. Ф. Верещагину за внимание и помочь в работе.

Московский государственный университет
им. М. В. Ломоносова

Поступило
22 IV 1970

ЦИТИРОВАННАЯ ЛИТЕРАТУРА

- ¹ Ф. Ф. Воронов, Л. Л. Питаевская, А. В. Билевич, ЖФХ, 43, № 3, 588 (1969). ² М. С. Henderson, J. Z. Klose, J. Acoust. Soc. Am., 31, № 1, 29 (1959).
- ³ Л. Л. Питаевская, А. В. Билевич, Н. Б. Исакова, ДАН, 184, № 6, 1315 (1969). ⁴ Л. Л. Питаевская, А. В. Билевич, ЖФХ, 44, № 6 (1970). ⁵ А. Michels, C. Michels, H. Wouters, Proc. Roy. Soc., 153, № 878, 214 (1935).
- ⁶ A. Michels, C. Michels, Proc. Roy. Soc., 160, № 902 (1937). ⁷ Д. С. Циклис, Л. Р. Линшиц, С. С. Циммерман, ЖФХ, 43, № 7, 1919 (1969). ⁸ A. Michels, S. R. de Groot, Appl. Sci. Res., A, 1, 94 (1948). ⁹ И. Г. Михайлов, В. А. Соловьев, Ю. П. Сырников, Основы молекулярной акустики, «Наука», 1964, стр. 102. ¹⁰ A. Michels, H. Wijker, Physica, 15, 627 (1949). ¹¹ A. Michels, R. J. Lunbeck, G. J. Wolkers, Physica, 17, 801 (1951). ¹² Е. В. Поляков, Д. С. Циклис, ЖФХ, 41, 2370 (1967).

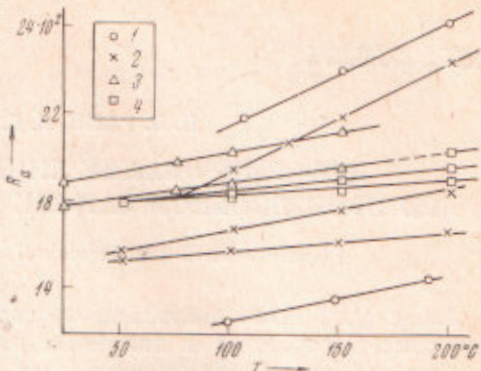


Рис. 4. Кривые зависимости R_a от температуры при давлениях 1000 и 2400 бар для гелия (1), 1000, 2000 и 3000 бар для аргона (2), 2000, 3000 бар для азота (3), 2000, 3000 и 4000 бар для CO_2 (4). Кривые для одного газа идут в порядке уменьшения давления сверху вниз

* Следует иметь в виду, что при температурах выше критической различие между газом и жидкостью носит лишь количественный характер.